

УДК 517.5

## ПОДГОТОВКА РЕЗУЛЬТАТОВ НЕПРЕРЫВНОГО ВЕЙВЛЕТ-ПРЕОБРАЗОВАНИЯ К АВТОМАТИЗИРОВАННОЙ ОБРАБОТКЕ

А.С. Фадеев, Е.А. Кочегурова

Томский политехнический университет

E-mail: fas@aics.ru

Выявлены недостатки непрерывного вейвлет-преобразования не позволяющие производить их автоматизированную обработку при решении задачи классификации частотных составляющих сигнала. Предложен эвристический алгоритм, повышающий информативность карт проекций изолиний вейвлет-преобразования. Показана возможность использования алгоритма для подготовки информации к дальнейшей автоматизированной обработке.

Задача исследования сигналов, в том числе, сигналов звукового диапазона — одна из самых популярных прикладных задач. Часто требуется анализ сигнала в различных представлениях: амплитудно-временном, амплитудно-частотном или частотно-временном. Большое количество программно и аппаратно реализованных математических алгоритмов позволяет адекватно переходить от одной формы представления сигнала к другой. Зачастую удобные для визуального анализа формы представления сигнала крайне сложны для автоматизированной обработки и анализа.

Так, относительно новый математический аппарат непрерывного вейвлет-преобразования (НВП) обладает хорошей графической интерпретацией результатов, позволяя перейти от амплитудно-временного представления сигнала к амплитудно-частотно-временному.

Основой НВП является операция свертки сигнала  $f(t)$  с вейвлетом из семейства вейвлет-функций вида  $w_{s,\tau}(t) = \frac{1}{\sqrt{s}} w(\frac{t-\tau}{s})$ . Семейство вейвлет-функций  $w_{s,\tau}(t)$  получают на основании материнского вейвлета  $w(t)$  масштабированием его параметром  $s$  и сдвигом на величину  $\tau$ . Варьируя параметрами масштабирования  $s$  и смещения  $\tau$ , достигают необходимой локализации как в частотной, так и во временной областях соответственно. Вид функции материнского вейвлета влияет на выявление определенных свойств сигнала. НВП  $Wf(\tau, s)$  определяется формулой [1]:

$$Wf(\tau, s) = \langle f, w_{s,\tau} \rangle = \int_{-\infty}^{\infty} f(t) w_{s,\tau}(t) dt.$$

Результатом НВП является двумерный массив чисел  $Wf(\tau, s)$  характеризующий амплитудно-частотно-временные свойства сигнала. Значение числа в каждом элементе массива соответствует амплитуде определенной гармоники исследуемого сигнала в различные моменты времени.

На рис. 1 приведен фрагмент типичного графического представления НВП синусоидального сигнала в трехмерном пространстве время-частота-амплитуда и карты проекций изолиний. Градации цвета от черного к белому соответствуют изменениям амплитуды от минимальных до максимальных значений соответственно.

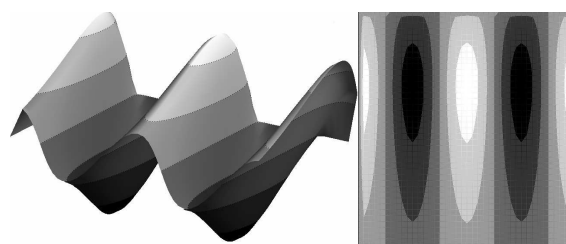


Рис. 1. Графические представления результатов непрерывного вейвлет-преобразования: слева — трехмерная модель поверхности; справа — карта проекций изолиний

Визуальный анализ результатов НВП применяется во многих прикладных и инженерных задачах (медицина, метеорология, оптика, и др.) [2]. Но в некоторых задачах исследования сигналов звукового диапазона дальнейшая автоматизированная обработка результатов НВП, например, с применением искусственных нейронных сетей (ИНС) крайне затруднена. Это обусловлено наличием чередования положительных и отрицательных значений в массиве  $Wf(\tau, s)$  вдоль временной оси. Визуально это соответствует чередованию светлых и темных полос, (рис. 2) хотя, во многих случаях, темные полосы — это неинформативная часть представления.

В данной работе предлагается ряд алгоритмов преобразований результатов НВП, позволяющих устранить указанный недостаток и, таким образом, подготовить их для автоматизированной обработки ИНС.

Как известно [3], по результату операции свертки можно судить о степени схожести двух функций. Свойства одной из них (вейвлет-функции), как правило, известны, и она является базисной. Операция свертки является сутью НВП и определяет основные его свойства.

Рассмотрим частные случаи операции свертки вейвлет-функций  $w_{s,\tau}(t)$  с сигналом  $f(t)$ .

### 1. Совпадение вейвлета с фрагментом функции.

Параметры сдвига  $\tau$  и масштабирования  $s$  вейвлет-функции таковы, что периоды колебаний вейвлета  $T$  совпадают с периодами функции  $f(t)$  (рис. 3 и 4).

В такие моменты операция свертки функций дает положительное число. Причем абсолютное значение этого числа будет тем больше, чем более точно совпадает исходный сигнал с вейвлет-функцией.

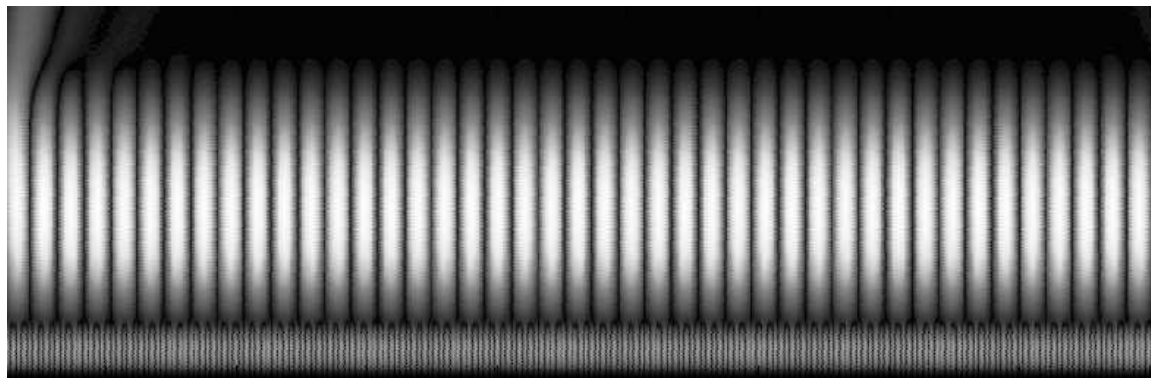


Рис. 2. Результат НВП сигнала вида  $f(t)=a_1\sin(\omega_1t)+a_2\sin(\omega_2t)$

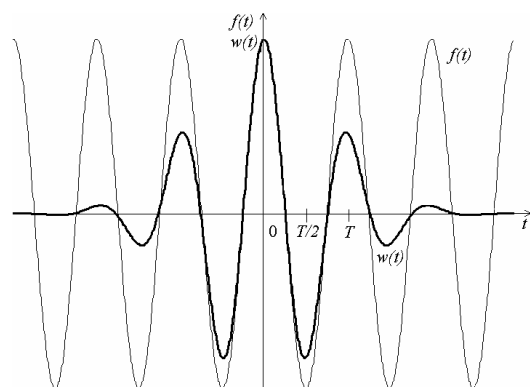


Рис. 3. Функции вейвлета  $w(t)$  и сигнала  $f(t)$

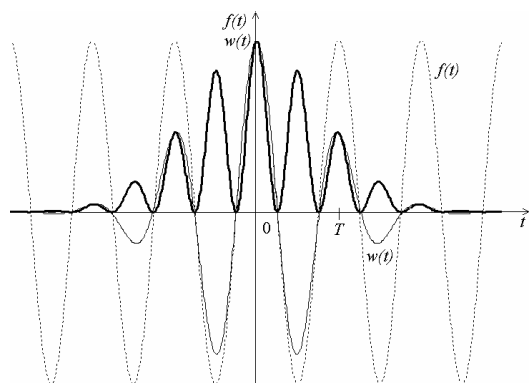


Рис. 4. Скалярное произведение  $f(t)$  и  $w(t)$

## 2. Совпадение инверсии вейвлета с фрагментом функции.

Функции вейвлета  $w(t)$  и сигнала  $f(t)$  в каждый момент времени имеют противоположные знаки, и скалярное произведение  $w(t)$  и  $f(t)$  целиком лежит в полуплоскости отрицательных значений (рис. 5 и 6).

В такие моменты результатом операции свертки функций  $f(t)$  и  $w(t)$  является отрицательное число. Причем, абсолютное значение этого числа будет тем больше, чем более точно совпадает исходный сигнал с инверсией вейвлет-функции.

## 3. Несовпадение вейвлета с фрагментом функции.

Функции вейвлета  $w(t)$  и сигнала  $f(t)$  либо сдвинуты относительно друг друга на  $1/4$  периода (в случае совпадения периода сигнала с периодом коле-

баний вейвлета), либо настолько различны, что результатом операции свертки функций  $f(t)$  и  $w(t)$  является значение близкое к нулю.

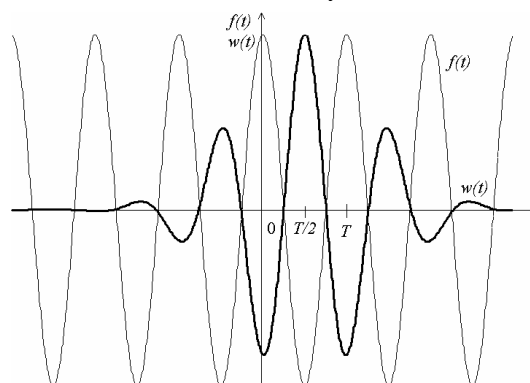


Рис. 5. Функции вейвлета  $w(t)$  и сигнала  $f(t)$ , при  $\tau=T/2$

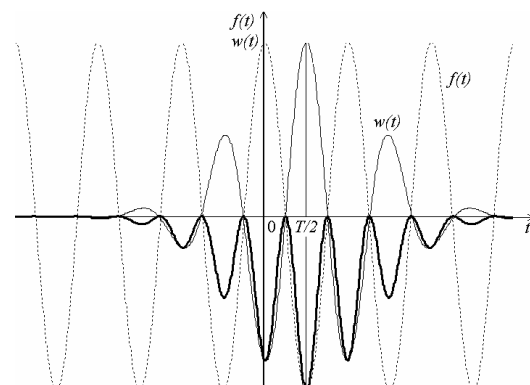


Рис. 6. Скалярное произведение  $f(t)$  и  $w(t)$ , при  $\tau=T/2$

Для решения задачи идентификации частотных составляющих сигнала [6], когда целью является выявление сигнала определенной формы и его амплитуды, значение фазы в пределах одного периода  $T$  не играют существенной роли. Поэтому, в качестве результатов НВП можно использовать абсолютные значения НВП (рис. 7).

В таком случае, более светлые области на графических представлениях результатов НВП будут соответствовать большим значениям амплитуды сигнала  $f(t)$ . Наиболее темные области свидетельствуют либо об отсутствии в сигнале фрагментов, схожих с вейвлет-функцией, либо о моментах, ког-

да значение сдвига  $\tau$  кратно четверти периода сигнала. Например, в случае НВП гармонического сигнала вида  $f(t) = a_0 \sin(\omega_0 t)$  светлые области соответствуют экстремумам функции, а черные – переходам функций через ноль.

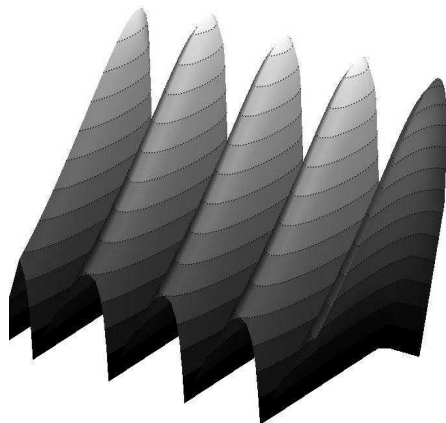


Рис. 7. Графические представления абсолютных значений НВП

Для большинства сигналов звукового диапазона, к которым относится и музыкальная информация [7], продолжительность звучания отдельных звуковых составляющих (нот) значительно больше периода их основной гармоники  $T$ . Поэтому во временном и частотном интервалах звучания одной ноты сигнал можно рассматривать как локально-стационарный.

На срезе карты проекций изолиний по значению параметра  $s_0$ , соответствующего частоте основной гармоники сигнала  $\omega_0$  видно, что интервалы между пиками (всплесками), возникающими вдоль оси времени, соответствуют половине периода основной гармоники этих составляющих:  $t_{i+1} - t_i = T/2$  и  $t_{i+2} - t_i = T$ , где  $T = 1/\omega_0$  (рис. 8).

В связи с тем, что наличие последовательности пиков на узком интервале времени говорит о наличии непрерывного локально-стационарного сигнала, то можно увеличить информативность результатов НВП. Для этого необходимо выполнить сглаживание, не потеряв информации о наличии и ам-

плитуде самого сигнала. Суть такого сглаживания заключается в формировании огибающей по экстремумам всплесков, интервал возникновения которых соответствует рабочей частоте  $\omega$  и значению параметра  $s$ . При изменении амплитуды сигнала во времени значения пиков на карте проекций изолиний будут изменяться пропорционально интенсивности всплесков каждого полупериода сигнала.

Для формирования огибающей реализуем алгоритм, который для рабочей частоты  $\omega$  и значения параметра  $s$  в каждый момент времени  $t_j$  вычисляет формулу секущей  $F(t)$  и накладывает ее на график колебаний амплитуд  $A(t)$  в пределах одного полупериода  $T/2$ .

$$F(t) = \frac{A(t_j + T/2) - A(t_j)}{T/2} t + A(t_j),$$

где  $t \in [t_j; t_j + T/2]$ .

После наложения каждой секущей, за результирующее значение сглаженного сигнала  $A'(t)$  в каждый момент времени  $t \in [t_j; t_j + T/2]$  берется наибольшее значение между функциями  $A(t)$  и  $F(t)$ , рис. 9.

Далее выбирается новая рабочая частота  $\omega$  и соответствующее ей значение параметра  $s$  и операция вычисления и наложения секущей повторяется для всего временного интервала. На рис. 10 приведен фрагмент работы алгоритма формирования огибающей для среза на частоте  $\omega_0$  НВП нестационарного сигнала для трех первых семейств секущих.

Амплитуда  $A'(t)$  будет максимальна в те моменты, когда концы секущей совпадут с экстремумами функции  $A(t)$ . То есть при совпадении частоты следования всплесков функции  $A(t)$  (а, следовательно, и колебаний сигнала) с рабочей частотой  $\omega$ .

В результате работы алгоритма для всех частотных срезов и для каждого момента времени получим массив значений  $Wf(\tau, s)$  той же размерности, что и массив значений  $Wf(\tau, s)$ .

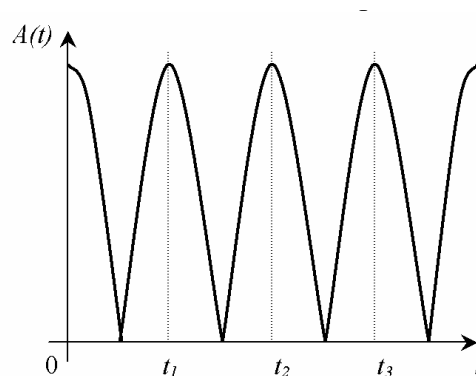
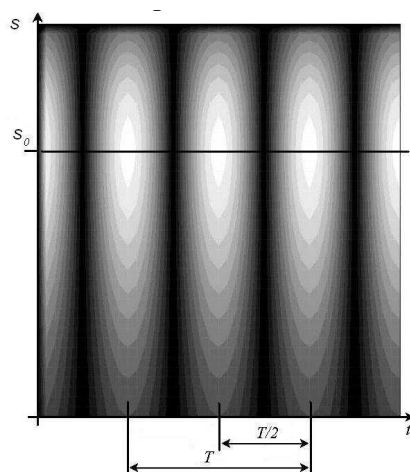


Рис. 8. Слева: карта проекций изолиний абсолютных значений НВП; справа: срез значений амплитуды по параметру  $s_0$

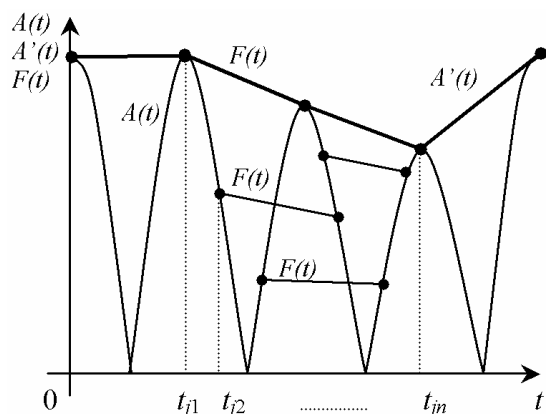


Рис. 9. Наложение секущих  $F(t)$  на функцию  $A(t)$  и формирование огибающей  $A'(t)$

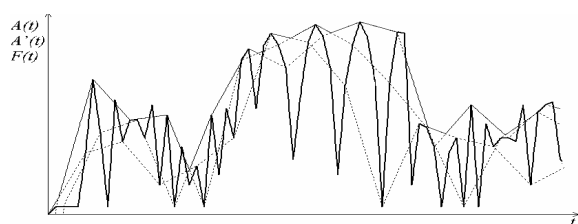


Рис. 10. Промежуточные результаты работы алгоритма для среза на частоте  $\omega_0$

Сформированный массив значений  $Wf(\tau, s)$  представляет собой амплитудно-частотно-времен-

ную характеристику исходного сигнала  $f(t)$ , но, в отличие от результатов НВП  $Wf(\tau, s)$  не содержит отрицательных значений и чередующихся последовательностей пиков (рис.11).

Срез массива значений  $Wf(\tau, s)$  вдоль оси частот (в любой момент времени) представляет собой амплитудно-частотную характеристику сигнала в этот момент времени. Срез вдоль оси времени — есть амплитудно-временная характеристика определенной частотной составляющей сигнала (изменение амплитуды определенной гармоники на протяжении всего сигнала).

Такие двумерные срезы (как и сам массив  $Wf(\tau, s)$ ) являются исходной информацией при автоматизированной обработке ИНС, для идентификации определенных свойств сигнала.

Работа представленного алгоритма была опробована при обработке ряда сигналов вида  $f(t)=a_1\sin(\omega_1t)+a_2\sin(\omega_2t)$ , а также фрагмента записи двухголосного музыкального произведения. Визуальный анализ графического представления результатов работы алгоритма показал действительное отсутствие в них указанных выше недостатков присущих результатам НВП и, следовательно, возможность дальнейшей автоматизированной обработки. В настоящее время разрабатываются алгоритмы решения задачи текущей классификации частотных составляющих сигнала с использованием ИНС типа *MaxNet*.

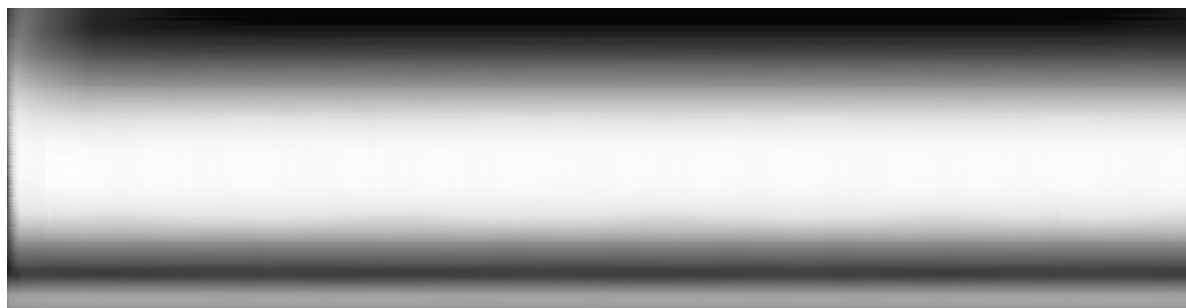


Рис. 11. Графическое представление результатов преобразований значений НВП сигнала вида  $f(t)=a_1\sin(\omega_1t)+a_2\sin(\omega_2t)$

#### СПИСОК ЛИТЕРАТУРЫ

1. Чуи К. Введение в вейвлеты. — М.: Мир, 2001. — 412 с.
2. Астафьева Н.М. Вейвлет-анализ: основы теории и примеры применения // Успехи физических наук. — 1998. — Т. 166. — № 11. — С. 1145–1170.
3. Пирс Дж. Символы, сигналы, шумы. — М.: Мир, 1967. — 336 с.
4. Смоленцев Н.К. Основы теории вейвлетов. Вейвлеты в Mat-Lab. — М.: ДМК Пресс, 2005. — 304 с.
5. Яковлев А.Н. Введение в вейвлет-преобразования. — Новосибирск: Изд-во НГТУ, 2003. — 104 с.
6. Фадеев А.С., Кочегурова Е.А. К вопросу о преобразовании музыкальных форматов // Современные проблемы информатизации в моделировании и программировании: Сб. трудов XII Междунар. открытой научной конф. — Воронеж: Научная книга, 2006. — С. 255–257.
7. Кочегурова Е.А., Фадеев А.С. Вейвлет анализ в задаче идентификации музыкальной информации // Молодежь и современные информационные технологии: Сб. трудов IV Всеросс. научно-практ. конф. студентов, аспирантов и молодых ученых. — Томск: Изд-во ТПУ, 2006. — С. 149–151.